

兵庫県立 正員寺 谷 肇
神戸大学工学部 正員 松嶋順三郎

1. はじめに

近年の急速な人為的汚濁の進行により、閉水域である内湾、内海、湖沼の富栄養化の進行は著しく、種々の水質障害を生じ、しばしば社会問題として取り上げられる。このような富栄養化現象を論ずるにあたっては、現象の要因とされ、また、養殖場等の水域における收支を把握することが重要であり、従来から閉水域への流入汚染質の拡散輸送ヒートマップを平面2次元として扱えたF.E.M.やD.D.M.による数値解析が行なわれてきた。

本研究では、3次元問題を2次元問題に置き換えることが可能であるという特性をもつ境界要素法に注目し、富栄養化現象をより明確に把握するため特に流域からの養殖場の落水による拡散ヒートマップを3次元拡散解析への境界要素法の適用を試み、理論との対比を軸にその可能性を検討した。

2. 境界要素法による定式化

閉水域を平均流のない乱流場とみなす。現象の支配方程式及び境界条件は次式で表される。

$$\text{領域 } \Omega \text{ 内} : \frac{\partial}{\partial x} (D_x \frac{\partial c}{\partial x}) + \frac{\partial}{\partial y} (D_y \frac{\partial c}{\partial y}) + \frac{\partial}{\partial z} (D_z \frac{\partial c}{\partial z}) = 0 \quad (1)$$

$$\text{境界 } S_1 \text{ 上} : c = \bar{c} \quad (2) \quad \text{境界 } S_2 \text{ 上} : g_n = \bar{g}_n \quad (3)$$

$$\text{ここで} \quad g_n = D_x \frac{\partial c}{\partial x} l_x + D_y \frac{\partial c}{\partial y} l_y + D_z \frac{\partial c}{\partial z} l_z \quad (4) \quad n(l_x, l_y, l_z) \quad (n(l_x, l_y, l_z))$$

(1)～(3)を含めた重み付き差分表現式は、

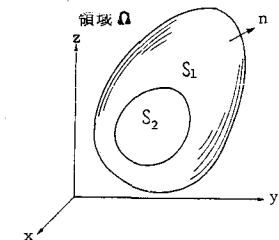


図-1 坐標系

$$\iiint_{\Omega} \left\{ \frac{\partial}{\partial x} (D_x \frac{\partial c}{\partial x}) + \frac{\partial}{\partial y} (D_y \frac{\partial c}{\partial y}) + \frac{\partial}{\partial z} (D_z \frac{\partial c}{\partial z}) \right\} C^* d\Omega = \iint_{S_2} (\bar{g}_n - g_n) C^* ds - \iint_{S_1} (\bar{c} - c) g_n^* ds \quad (5)$$

$$\text{式中 } C^* \text{ は}, \quad C^* = 1 / 4\pi r_0 \sqrt{D_x D_y D_z} \quad (6) \quad r_0 = \sqrt{(x-x_0)^2/D_x + (y-y_0)^2/D_y + (z-z_0)^2/D_z} \quad (7)$$

$$\text{と表される基本解であり, } g_n^* \text{ は次式で表される。} \quad g_n^* = \frac{\partial C^*}{\partial n} \quad (8)$$

(5)式を Green-Gauss の定理を用いて変形すると

$$C_i + \iint_S C g_n^* ds = \iint_S g_n C^* ds \quad (9) \quad \text{境界要素法では, 一連の手法により(9)式を境界上で定式化して}\quad \text{いく必要がある。特異積分を処理するため(9)式に境界極限操作を施す。}$$

$$k_i C_i + \iint_S C g_n^* ds = \iint_S g_n C^* ds \quad (10) \quad (10) \text{式は境界積分方程式と呼ばれるものであり, これを離散化後}\quad \text{形成されたマトリックスを解くことで, 境界上の解は求まる。領域内部の解は境界上の解を用いて(9)式より求まる。}$$

3. 適用モデルと解析結果

モデルの大きさは、大阪湾の南北、東西、水深方向のオーダーを意識して設定したものであり図-2を示した。

領域内の支配方程式、境界条件は次の通りである。

$$\text{Ω内} \quad D_x \frac{\partial^2 c}{\partial x^2} + D_y \frac{\partial^2 c}{\partial y^2} + D_z \frac{\partial^2 c}{\partial z^2} = 0 \quad (11)$$

$$S_1 \text{ 上} \quad c = 0 \quad (12)$$

$$S_2 \text{ 上} \quad g_n = 50 \quad (m^2/m^2 \cdot day) \quad (13)$$

$$\text{その他の境界} \quad g_n = 0 \quad (14)$$

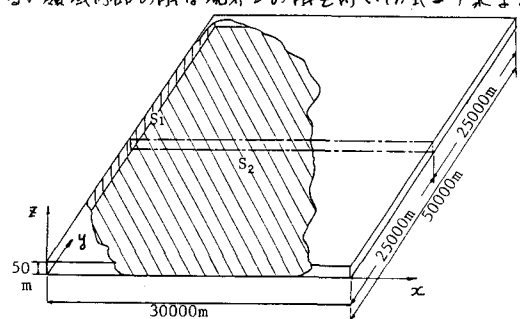


図-2 適用モデル

$$D_x = D_y = 20 \text{ (m}^2/\text{sec}) \quad D_z = 100 \text{ (m}^2/\text{day})$$

3. 1 理論解. 前記モデルの理論解は、(1)式を座標変換し、フーリエ級数展開することにより次式で与えられる。

$$C(x, z, Z) = \sum_{n=0}^{\infty} \frac{8\alpha R}{\sqrt{D_x \cdot D_z} (2n+1)^2 \pi^2} \frac{\cosh \left\{ \frac{(2n+1)\pi}{2a} (Z_1 - Z) \right\}}{\sinh \left\{ \frac{(2n+1)\pi}{2a} Z_1 \right\}} \cdot \sin \frac{(2n+1)\pi x}{2a} \quad (1)$$

'a: モデルのx方向の大きさ (30 km) R: Z_1 からの滴度流束 \bar{q}_n

3. 2 数値積分の影響. 境界要素法では積分計算が全体の精度を大きく左右する。特に本研究のように拡散方程式を取った場合、(1)式のような特性をもつており、 C_n を要素上で面積分することが必要となる。この C_n の面積分は、解析的に求めることは困難であるため数値積分を実行するわけだが、負荷点と積分点が同一要素上にない時は別々にて、負荷点と積分点が同一要素上にあり接続している場合は、負荷点近傍で C_n が急激な立ち上がりを見せる分布を示すため、数値積分が十分な精度を上げるどころか逆に懸念される。そのため積分精度を上げるために本研究では、まず要素分割をできるだけ細かくして要素自体の面積を小さくし、次に C_n の面積分とはその数値積分の次数を上げることで段階の手法をとった。又、これに加えて内点の計算についてても、内点と積分点が接続してあると考えられる要素上で C_n の面積分には同様の手法をとった。(図-3 参照)

鉛直濃度分布を用いて数値解と理論解との比較を図-4 に示した。数値積分には、Gauss-Legendre の積分公式を用いた。これより、数値積分次数を上げることで数値解は理論解に近づき、上述の手法が妥当であったことが言えるよう。しかし、水面と水底付近の濃度をより詳細に求めると図-5 のような分布を示すことがわかる。これは、水面・水底付近においては数値積分がまだ十分な精度を上げてないためにによると言えられ、上述のような手法にも限界があることをうかがわせる。一定要素を用い、要素分割数はいずれの場合も 830 とした。図-6 は C_n の面積分ヒートマップである。

4. おわりに

図-6 の結果は誤差 1% の精度で理論解と一致しており、平面 2 次元とも考えられるような大水域に小さな厚みを導入したモデルの拡散解析に境界要素法を適用しても実用的、に十分な精度が得られることがわかった。今後これをステップアップして大阪湾など実際モデルへの適用が望まれる。

参考文献 1) 桜井 順子他「境界要素法による閉水域の3次元拡散解析」 2) C.A. プレビア「境界要素法入門」 (昭和 58 年度文部省科研費研究報告書)

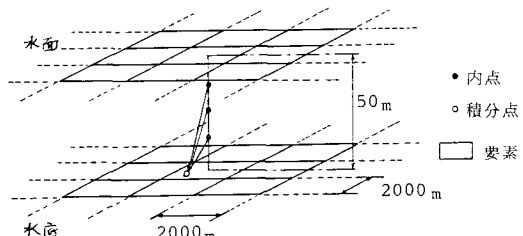


図-3 積分次数を上げた要素

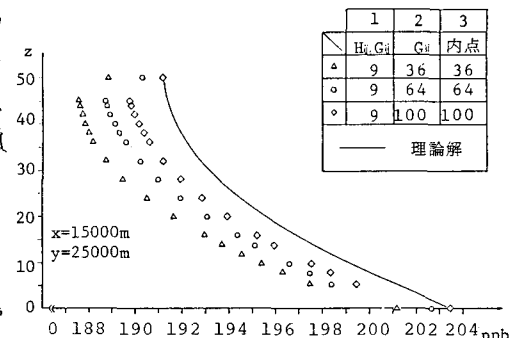


図-4 数値解と理論解の比較

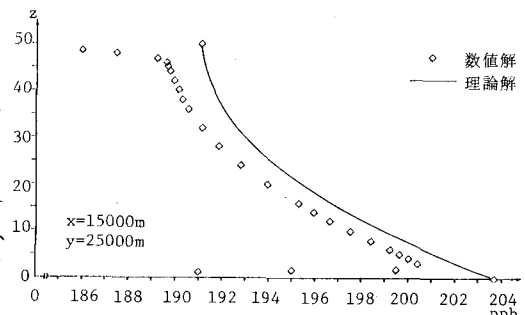


図-5 数値解と理論解の比較
(水面・水底付近を含む)

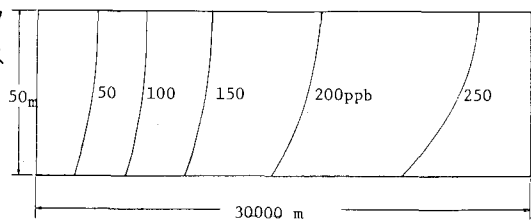


図-6 鉛直等濃度曲線の分布 ($\gamma = 25 \text{ km}$)